

تأثیر شکل دیواره‌ی تبدیل‌های واگرا در خصوصیات پرش هیدرولیکی

حجت صادقی^{*} (کارشناس ارشد)

دانشکده‌ی فنی و مهندسی، دانشگاه آزاد اسلامی واحد مراغه

رسول دانشواراز (دانشیار)

دانشکده‌ی فنی و مهندسی، دانشگاه مراغه

جواد بهمنش (دانشیار)

گروه مهندسی آب، دانشکده‌ی کشاورزی، دانشگاه ارومیه

محمد رضا نیک پور (استادیار)

گروه مهندسی آب، دانشکده‌ی فناوری کشاورزی و منابع طبیعی، دانشگاه محقق اردبیلی

مهندنسی عمران و شهرسازی، (تاپیستان ۱۳۹۴) ۲۱ - ۲۰، شماره ۲/۱، ص. ۵۷-۶۲

پرش هیدرولیکی یکی از مهم‌ترین پدیده‌ها در جریان متغیر سریع است، که مورد توجه مهندسان هیدرولیک است. در این مطالعه با توجه به اهمیت بالای این پدیده در عالم هیدرولیک، خصوصیات هیدرولیکی پرش تشکیل یافته در تبدیل‌های واگرا با ۳ شکل دیواره‌ی ۵ - شکل، مستقیم، و انحنایار به ازاء ۵ عدد فرد مختلف در بازه‌ی $0,1 < Fr_1 < 0,8$ بررسی شده است. بدین منظور مقادیر عمق و سرعت در نقاط مختلف پرش هیدرولیکی در تبدیل‌ها برداشت شده است. پس از تحلیل نتایج، مقادیر پیشنهادی و کمینه‌ی سرعت و طول پرش و از سوی دیگر، عمق پرش به ترتیب در تبدیل‌ها انحنایار و ۵ - شکل مشاهده شده است. مقادیر به دست آمده از تبدیل با دیواره‌ی مستقیم نیز در بازه‌ی مقادیر دو تبدیل دیگر واقع شده است. نتایج نشان داده است که به ازاء طول ثابت دیواره‌ی تبدیل، انحنای دیواره‌ها باعث کاهش تدریجی سرعت و در نتیجه کاهش نرخ استهلاک انرژی در پرش هیدرولیکی می‌شود.

hojat_sadeghi25@yahoo.com
daneshfaraz@yahoo.com
j.behmanesh@urmia.ac.ir
nikpoor.reza@gmail.com

وازگان کلیدی: پرش هیدرولیکی، تبدیل واگرا، طول پرش، عمق ثانویه، نرخ استهلاک انرژی.

۱. مقدمه

انتقال جریان از حالت فوق بحرانی به زیر بحرانی توسط یک مکانیسم پراکنش قوی، که پرش هیدرولیکی نامیده می‌شود، مشخص می‌شود. این پدیده در نتیجه‌ی تبدیل جریان فوق بحرانی به زیر بحرانی ایجاد می‌شود. در اثر پدیدآمدن پرش هیدرولیکی، عمق جریان در مسیر نسبتاً کوتاهی افزایش و ضمن ایجاد افت انرژی زیاد، سرعت جریان به میزان قبل توجهی کاهش می‌یابد. به همین دلیل پرش هیدرولیکی برای استهلاک انرژی جریان‌های فوق بحرانی با سرعت زیاد در پایین دست سازه‌هایی نظر سدها، تنآب‌ها، آبشارها و دریچه‌ها، در حوضچه‌ی آرامش مورد استفاده قرار می‌گیرد. با توجه به اهمیت بالای این پدیده در علم هیدرولیک، مطالعات آزمایشگاهی و عددی بسیاری در زمینه‌ی بررسی خصوصیات پرش هیدرولیکی انجام شده است. برخی پژوهشگران در سال ۱۹۳۶، جزء اولین افرادی بودند که روابطی را برای تعیین طول پرش هیدرولیکی ارائه کردند.^[۱] و پس از آن برخی دیگر نیز تحقیقاتی را در

* نویسنده مسئول

تاریخ: دریافت ۱۳۹۲/۴/۳، اصلاحیه ۱۳۹۲/۸/۲۸، پذیرش ۱۳۹۲/۹/۱۱.

سرعت سنج الکترومغناطیسی دو بعدی سطح افق^۲، ساخت شرکت ژاپنی ALEC Electronics، با خروجی دیجیتال استفاده شده است. جهت اندازه‌گیری ارتفاع سطح آب از عمق سنج نقطه‌ی مکانیکی^۳ با دقت اندازه‌گیری ± 0.1 میلی‌متر، ساخت شرکت Armfield، استفاده شده است. آزمایش‌ها به ازاء ۵ عدد فروند مختلف (با تغییر هد مخزن) انجام شده‌اند. مقایر اعداد فروند به همراه هد متناظر با آنها در جدول ۱ ارائه شده است. منظور از Fr_1 در جدول مذکور، عدد فروند جریان نزدیک‌شونده است.

در تمامی آزمایش‌ها، عرض کانال‌های بالادست و پایین دست به ترتیب برابر 40 و 80 سانتی‌متر بوده است. همان‌گونه که اشاره شد، در این مطالعه سه نوع تبدیل واگرا با شکل‌های متفاوت استفاده شده است. در شکل‌های ۱ الی ۳، نمای کلی تبدیل‌های مذکور نمایش داده شده است.

در شکل‌های ۴ الی ۶ نیز نمونه‌ی از پرش هیدرولیکی تشکیل یافته در تبدیل‌های فوق نمایش داده شده است.

پس از تشکیل پرش هیدرولیکی از فاصله‌ی 40 سانتی‌متری ابتدای پرش، مقادیر سرعت لحظه‌ی در راستاهای قائم و به فواصل طولی 30 سانتی‌متر 5 مقطع برداشت شده است. برداشت داده‌ها در اولین راستای قائم در فواصل عمودی 1 سانتی‌متری و در سایر راستاهای در فواصل عمودی 3 سانتی‌متری انجام شده است.

۳. نتایج و بحث

در شکل‌های ۷ الی ۹ پروفیل‌های سرعت برداشت شده در مقاطع مختلف پرش در تبدیل‌های واگرا با دیواره‌های s -شکل، مستقیم و انحنایدار به ازاء اعداد فروند

جدول ۱. مقادیر هد مخزن و اعداد فروند متناظر با آن.

| هد مخزن (متر) | Fr_1 | $5/8$ | $7/3$ | $8/0$ | $8/5$ | $9/1$ |
|---------------|--------|--------|--------|--------|--------|--------|
| $1/14$ | $0,91$ | $0,76$ | $0,50$ | $0,03$ | $0,02$ | $0,01$ |



شکل ۱. تبدیل s -شکل.

شد.^[۸] همچنین آخرین مطالعه در زمینه‌ی آب پایه مربوط به سال 2007 است، که در آن به بررسی خصوصیات پرش کشتل شده با آب پایه و از نوع Minimum-B در محدوده‌ی اعداد فروند $1/6$ تا 11 پرداخته شده است.^[۹] پرش هیدرولیکی بر روی سطوح شبیه دار در قرن 19 و 20 توسط تعدادی از پژوهشگران مطالعه شد.^[۱۰] پرش هیدرولیکی روی شبیه معکوس در حالت بستر صاف و زبر در سال 2009 شد و نتایج نشان داد که عمق ثانویه و طول پرش بر روی بستر صاف بیشتر از بستر زبر، با شبیه و عدد فروند یکسان است و در مقایسه‌ی درصد انانف افزایی، انانف افزایی بیشتری در بستر زبر نسبت به بستر صاف ایجاد می‌شود.^[۱۱] در مطالعه‌ی در سال 11 نیز میران غلطت حباب هوای محبوس در پرش هیدرولیکی با استفاده از حس‌گرهای مخصوص و به ازاء $Fr_1 < 0.5/1$ اندازه‌گیری شد.^[۱۲] در مطالعه‌ی دیگری در همان سال نیز تأثیر دو نوع زبری زیگزاگ و نواری بر روی عمق ثانویه‌ی پرش هیدرولیکی به ازاء اعداد فروند $2/98-11/5$ مورد آزمایش قرار گرفت و نتایج نشان داد که زبری زیگزاگ باعث کاهش عمق ثانویه در حدود 14 تا 40 درصد شده است، ضمناً اینکه زبری نواری نیز کاهش 30% عمق ثانویه را به همراه داشته است.^[۱۳] مطالعات آزمایشگاهی انجام شده در سال‌های 1979 و 2007 در رابطه با اثر واگرایی دیواره‌ها در مشخصات پرش در مقاطع مستطیلی نشان داده است که افزایش زاویه‌ی واگرایی در حوضچه‌های آرامش مستطیلی موجب کاهش طول و عمق ثانویه‌ی پرش و افزایش افت افزایی در مقایسه با پرش مستقیم می‌شود.^[۱۴] در نتیجه هزینه‌های احداث حوضچه‌های آرامش با مقاطع واگرایی دیواره‌های هدایت‌کننده‌ی جانبی حوضچه‌ی آرامش، عمق گودال آبشنستگی کاهش می‌یابد.^[۱۵]

در این مطالعه تأثیر شکل دیواره‌ی تبدیل واگرا در خصوصیات پرش هیدرولیکی بررسی شده است، که بدین منظور سه نوع تبدیل واگرا با شکل‌های متفاوت استفاده شده است.

۲. مواد و روش‌ها

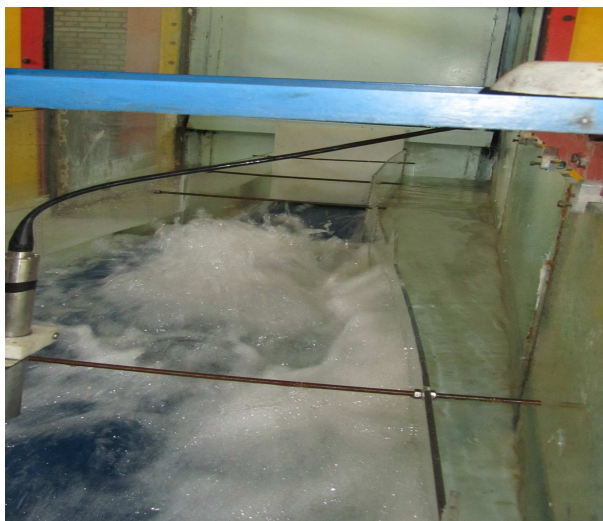
در این مطالعه کار آزمایشگاهی بر روی فلومی فازی با مقطع مستطیلی به طول 8 متر، عرض 1 متر و ارتفاع 0.8 متر با شبیه کف $0.50-0.02$ ، که بر روی یک شاسی به ارتفاع $1/1$ متر از سطح زمین قرار داشته است، انجام شده است. منظور تأمین ارتفاع استاتیک آب جهت تشکیل پرش هیدرولیکی در اعداد فروند مختلف، مخزنی به طول $1/75$ متر، عرض $1/65$ متر و ارتفاع $1/20$ متر در بالادست دریچه‌ی کشویی قرار گرفته است. به منظور ایجاد جریان فوق بحرانی ورودی و تنظیم عمق اولیه‌ی موردنظر برای محدوده‌ی اعداد فروند مختلف، در بالادست کanal و در قسمت انتهای مخزن تأمین فشار، یک دریچه‌ی کشویی با لمبه‌ی تیاز جنس ورق فلزی به عرض 1 متر و ارتفاع $1/25$ متر نصب شده است. همچنین برای کشتل پرش هیدرولیکی از یک دریچه‌ی کشویی تعییه شده در انتهای پایین دست کanal استفاده شده است، به صورتی که پرش هیدرولیکی در فاصله‌ی مشخصی از دریچه‌ی بالادست تثبیت شود. اندازه‌گیری دبی جریان عبوری از فلوم با استفاده از یک دستگاه دبی سنج صوتی^۱ مدل P₆₀ UFM، ساخت شرکت Krohne، با دقت $2 \pm 0\%$ ، که حس‌گرهای آن بر روی لوله‌ی آبرسان فلوم نصب شده، انجام شده است. به منظور اندازه‌گیری سرعت جریان در نقاط مختلف، از



شکل ۴. تشکیل پرش هیدرولیکی در تبدیل s شکل.



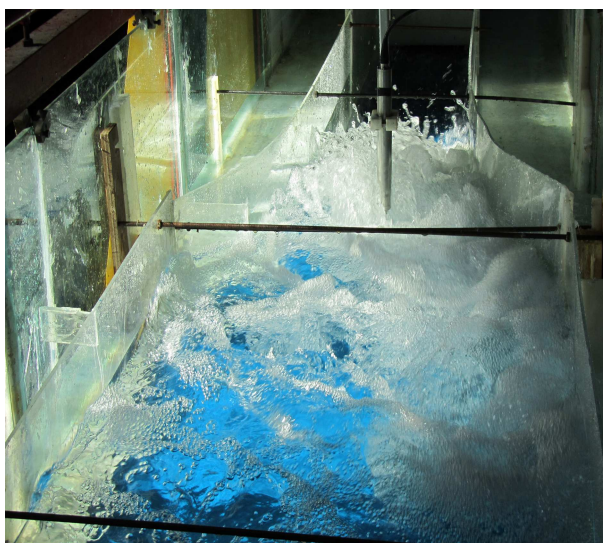
شکل ۲. تبدیل با دیوارهای مستقیم.



شکل ۵. تشکیل پرش هیدرولیکی در تبدیل با دیوارهای مستقیم.



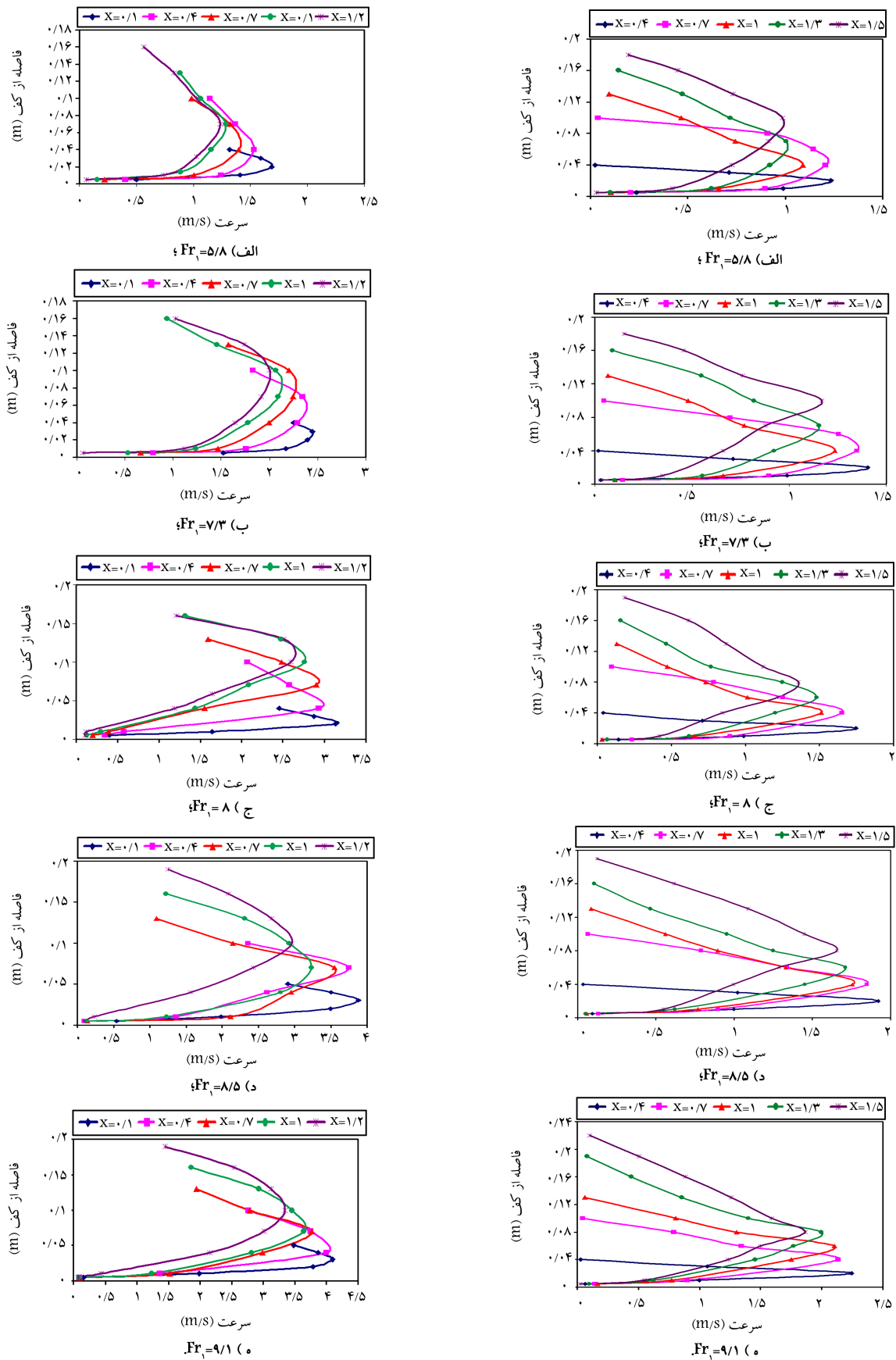
شکل ۳. تبدیل انحنایدار.



شکل ۶. تشکیل پرش هیدرولیکی در تبدیل انحنایدار.

مختلف نمایش داده شده است. در شکل‌های مذکور منظور از x فاصله از ابتدای پرش بر حسب متر است.

همان‌گونه که مشاهده می‌شود در کلیه مقاطع اندازه‌گیری سرعت، ابتدا با فاصله‌گرفتن از کف بستر مقدار سرعت افزایش و پس از رسیدن به مقدار بیشینه، مقدار آن کاهش یافته است. در واقع وقوع پرش هیدرولیکی باعث اختلاط شدید آب و هوا در نزدیکی سطح آب می‌شود و در نتیجه‌ی آن، انرژی جریان کاهش می‌یابد و از مقادیر سرعت کاسته می‌شود. از سوی دیگر ملاحظه می‌شود که در تبدیل انحنایدار، کاهش سرعت جریان در نزدیکی صورت گرفته است. در این تبدیل به علت انحنای دیوارهای افزایش ملایم و تدریجی عرض کاتال، در هنگام وقوع پرش هیدرولیکی اختلاط آب و هوای کمتری نسبت به دو تبدیل دیگر رخ می‌دهد و همین عامل باعث می‌شود تا استهلاک انرژی جریان در فاصله‌ی طولانی تری انجام شود و به عبارت دیگر، طول پرش هیدرولیکی ز L افزایش و عمق ثانویه‌ی پرش h کاهش می‌یابد. همچنین به ازاء یک عدد فرود ثابت، مقادیر بیشینه‌ی سرعت در تبدیل‌های انحنایدار نسبت به



شکل ۸. پروفیل های سرعت پرش هیدرولیکی در تبدیل s - شکل به ازاء اعداد فرود اعداد فرود مختلف.

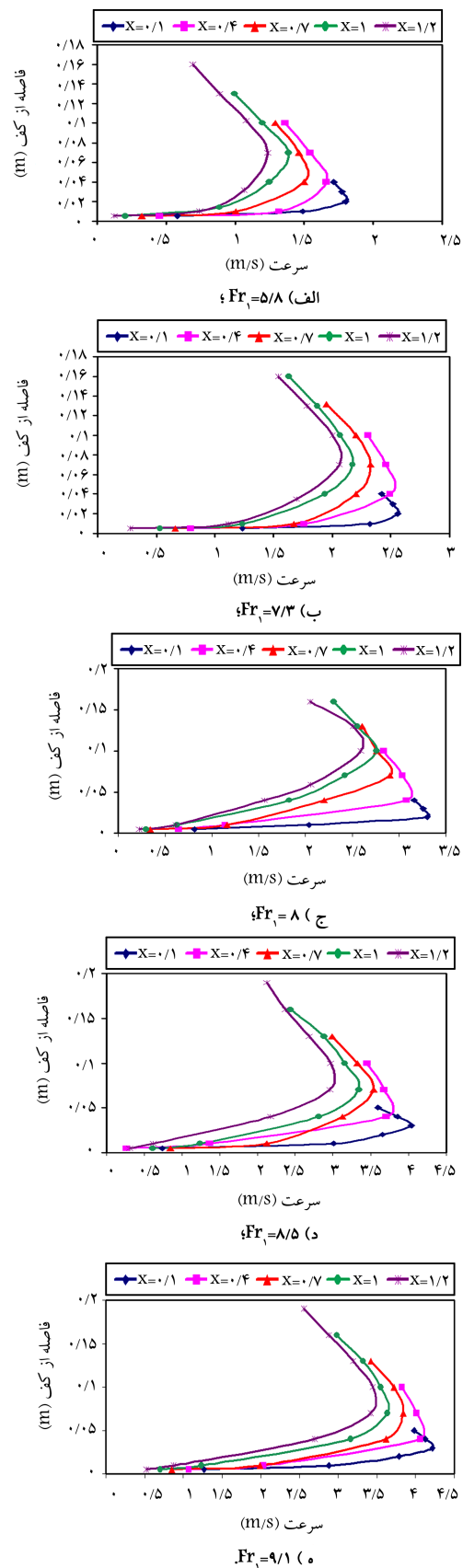
جدول ۲. پارامترهای هیدرولیکی پرش در تبدیل‌های مورد آزمایش.

| $\Delta E(\%)$ | y_2 (cm) | L_j (cm) | Fr_1 | نوع تبدیل |
|----------------|------------|------------|--------|-----------|
| ۴,۴۲ | ۱۸,۷۴ | ۹۰ | ۵,۸ | |
| ۲۹,۲۹ | ۱۹,۵۲ | ۹۶,۵ | ۷,۳ | |
| ۵۱,۸۷ | ۲۰,۵ | ۱۰۵ | ۸,۰ | - شکل s |
| ۶۰,۰۶ | ۲۲,۳۵ | ۱۱۴,۵ | ۸,۵ | |
| ۶۱,۲۶ | ۲۵,۵ | ۱۲۰ | ۹,۱ | |
| ۲,۵۷ | ۱۷,۸۵ | ۱۱۸,۵ | ۵,۸ | |
| ۲۱,۶۳ | ۱۸,۷ | ۱۲۱ | ۷,۳ | |
| ۴۷,۹۲ | ۱۹,۲۵ | ۱۲۲,۷ | ۸,۰ | مستقیم |
| ۵۹,۴۲ | ۲۰,۶ | ۱۲۵ | ۸,۵ | |
| ۶۱,۰۱ | ۲۱,۵ | ۱۲۸,۵ | ۹,۱ | |
| ۲,۲۷ | ۱۶,۵۴ | ۱۲۲,۵ | ۵,۸ | |
| ۱۸,۵۵ | ۱۷,۵۶ | ۱۲۴,۸ | ۷,۳ | |
| ۴۴,۸۱ | ۱۸,۳۵ | ۱۲۶,۳ | ۸,۰ | انحنادار |
| ۵۸,۵۶ | ۱۹,۲۸ | ۱۲۸,۵ | ۸,۵ | |
| ۵۸,۹۸ | ۲۱,۵ | ۱۳۱,۶ | ۹,۱ | |

دو تبدیل دیگر بیشتر است، که علت آن پایین بودن نزد استهلاک انرژی و کاهش تدریجی سرعت است. اما در تبدیل s - شکل به علت افزایش ناگهانی عرض کanal، شدت اختلاط آب و هوا نیز بیشتر است، به طوری که در نزدیکی سطح آب سرعت جریان به شدت کاهش یافته و به صفر نزدیک شده است. همچنین در این تبدیل نزد استهلاک انرژی نسبت به دو تبدیل دیگر بیشتر بوده و طول پرش نیز کمتر است. نتایج تبدیل با دیواره مستقیم نیز بینایین مقادیر دو تبدیل دیگر قرار دارد. در جدول ۲، مقادیر طول پرش، عمق ثانویه و نزد استهلاک انرژی نسبی (ΔE) به ازاء اعداد فرود مختلف در تبدیل‌های مورد آزمایش ارائه شده است.

۴. نتیجه‌گیری

در این مطالعه، تأثیر شکل دیواره تبدیل واگرا در خصوصیات پرش هیدرولیکی بررسی شده و بدین منظور سه نوع تبدیل واگرا با شکل‌های متفاوت استفاده شده است. پروفیل‌های سرعت برداشت شده، نشان داده است که در هر سه تبدیل ابتدا با فاصله‌گرفتن از بستر مقدار سرعت افزایش و پس از رسیدن به مقدار بیشینه کاهش می‌یابد. اختلاط شدید آب و هوا در نزدیکی سطح آب در هنگام وقوع پرش هیدرولیکی، عامل اصلی پدیده‌ی مذکور است. از سوی دیگر، مقایسه‌ی پروفیل‌های سرعت تبدیل‌ها نشان داده است که در تبدیل انحنادار به علت انحنای دیواره‌ها و افزایش ملایم و تدریجی عرض کanal، در هنگام وقوع پرش هیدرولیکی اختلاط



شکل ۹. پروفیل‌های سرعت پرش هیدرولیکی در تبدیل با دیواره انحنادار به ازاء اعداد فرود مختلف.

سه نوع تبدیل مذکور برقرار است:

$$L_{j(\text{curved})} > L_{j(\text{straight})} > L_{j(s-\text{shaped})} \quad (1)$$

$$u_{\max(\text{curved})} > u_{\max(\text{straight})} > u_{\max(s-\text{shaped})} \quad (2)$$

$$y_{r(\text{curved})} < y_{r(\text{straight})} < y_{r(s-\text{shaped})} \quad (3)$$

$$\Delta E_{(\text{curved})} < \Delta E_{(\text{straight})} < \Delta E_{(s-\text{shaped})} \quad (4)$$

آب و هوای کمتری نسبت به دو تبدیل دیگر رخ می‌دهد و لذا کاهش سرعت در این تبدیل نسبت به دو تبدیل دیگر کمتر است. بعلاوه اینکه در تبدیل s - شکل به علت افزایش ناگهانی عرض کanal، شدت اختلاط آب و هوای نیز بیشتر بوده است؛ به طوری که در نزدیکی سطح آب بیشترین کاهش سرعت را در نزدیکی سطح آب (نسبت به دو تبدیل دیگر) به خود اختصاص داده است. درنهایت براساس نتایج این مطالعه می‌توان نتیجه گرفت که به ازاء یک عدد فرد ثابت، روابط ۱ الی ۴ میان

پانوشت‌ها

1. ultrasonic flow meter
2. electromagnetic current velocity sensor
3. point gauge

منابع (References)

1. Chow, V.T., *Open Channel Hydraulics*, Mc Graw-Hill, New York (1959).
2. Hager, W.H., *Energy Dissipators and Hydraulic Jump*, Water Science and Technology Library, Kluwer Academic Publishers (1992).
3. Gohari Khaliliha, A. "The investigation of the features of hydraulic jump on rough beds", Unpublished M.Sc thesis, Irrigation and Reclamation Engineering Group, Faculty of Soil and Water Engineering, Tehran University (1388).
4. Pagliara, S., Lotti, I. and Palermo, M. "Hydraulic jump on rough bed of stream rehabilitation structures", *J. of Hydro-Environ. Res.*, **2**(1), pp. 29-38 (2008).
5. Ead, S.A. and Rajaratnam, N. "Hydraulic jump on corrugated bed", *J. of Hydraul. Eng.-Asce.*, **128**(7), pp. 656-663 (2002).
6. Ibrahim, H.E. and Shazy, S. "Formation of hydraulic properties over a rough bed", *J. of Civ-Environ. Eng.*, **1**(10), pp. 40-50 (2010).
7. Karki, K.S. "Supercritical flow over sills", *J. of Hydr. Eng. Div. Asce.*, **10**, pp. 1449-1459 (1976).
8. Ohtsu, I. "Forced hydraulic jump by a vertical sill Trans", *J. of Hydraul. Sanit. Eng. Div-Jsce.*, **13**, pp. 165-168 (1981).
9. Debabeche, M. and Achour, B. "Effect of sill in the hydraulic jump in a triangular channel", *J. of Hydraul. Res.*, **45**(1), pp. 135-139 (2007).
10. Rajaei, H., Beirami, M.H. and Chamani, M.R. "The introduction and analysis of the new type of hydraulic jump (B-F type) on sloped surfaces with negative slope and the investigation of this type of jump in stilling basin", A paper Presented at Sixth International Conference on Civil Engineering (ICCE), Isfahan Industrial University, pp. 109-116 (15-17 Ordibehesht 1382).
11. Nikmehr, S. and Tabebordbar, A. "Hydraulic jump on adverse slope in two cases of rough and smooth bed", *Int. J. of Appl. Sci. Eng. Tech-ISSN.*, **2**(1), pp. 19-22 (2009).
12. Chachereau, Y. and Chanson, H. "Air entrainment and scale effects in hydraulic jumps with small froude numbers", 33th Hyd. And water Res. Symp., pp. 2388-2395 (2011).
13. Fathy, A. and Sun, Z. "Effect of prismatic elements as bed roughness on hydraulic jump characteristics", *J. of Phys. Sci-ISSN.*, **7**(17), pp. 2607-2615 (2012).
14. Khilifa, A.M. and McCorquodale, A.M. "Radial hydraulic jump", *J. of Hydr. Eng. Asce.*, **105**(9), pp. 1065-1078 (1979).
15. Omid, M.H., Esmaeilin Varaki, M. and Narayanan, R. "Gradually expanding hydraulic jump in a trapezoidal channel", *J. of Hydr. Res. IAHR.*, **45**(4), pp. 512-518 (2007).
16. Mosavi Khandan, A., Borghei, M. and Daemi, E. "Scour profile properties in downward of divergent stilling basin", A Paper Presented at Third National Conference on Hydraulic, University of Tehran, pp. 97-104 (15-17 Aban 1380).